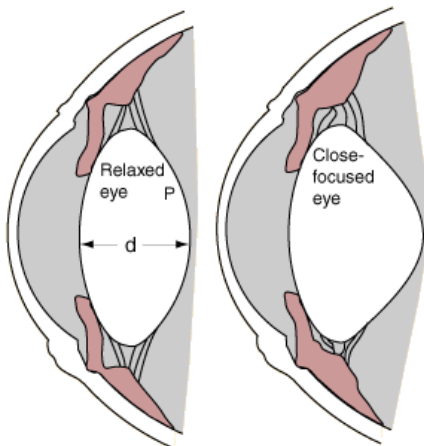
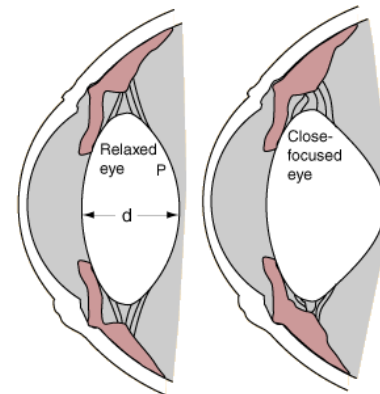


akomodace



Akomodace

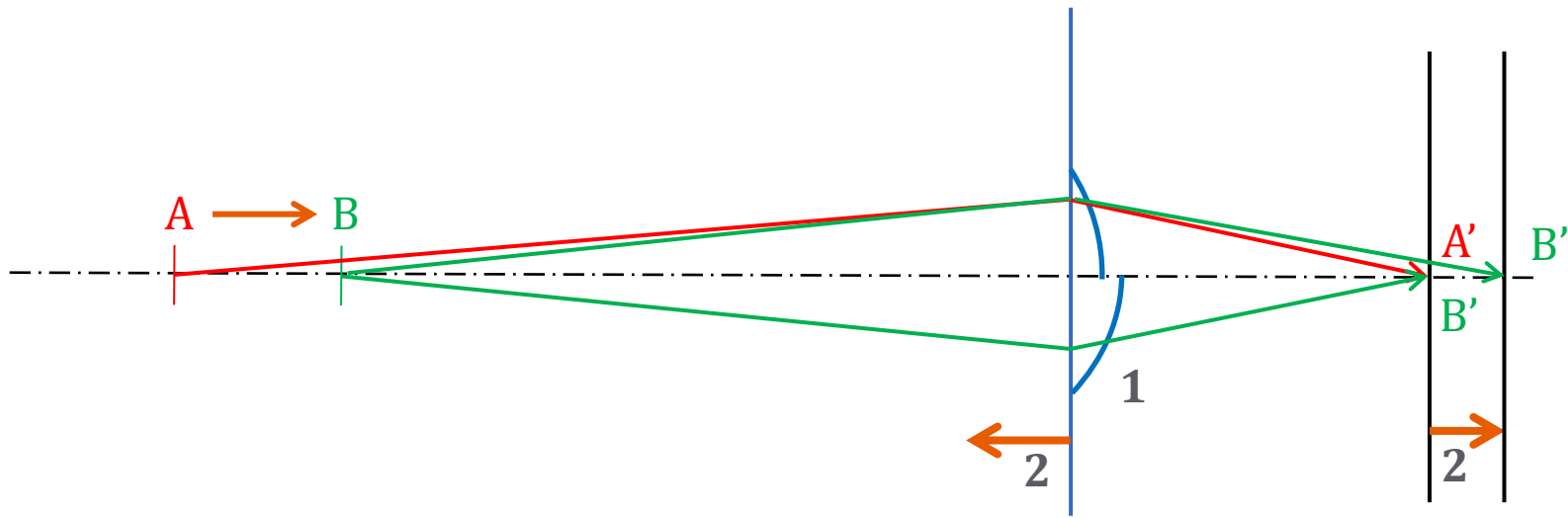
proces, při němž oko přizpůsobuje svou mohutnost, aby zaostřilo na objekty v různých vzdálenostech



například emetrop:

- zobrazuje neakomodovaným (relaxovaným) okem vzdálené objekty na sítnici, přitom je vergence svazku dopadajícího na rohovku nulová
- pokud pozoruje bližší objekt ve vzdálenosti například 50 cm před okem, je vergence svazku dopadajícího na rohovku -2D
- mohutnost oka tedy musí být zvýšena o +2D vzhledem k vrcholu rohovky

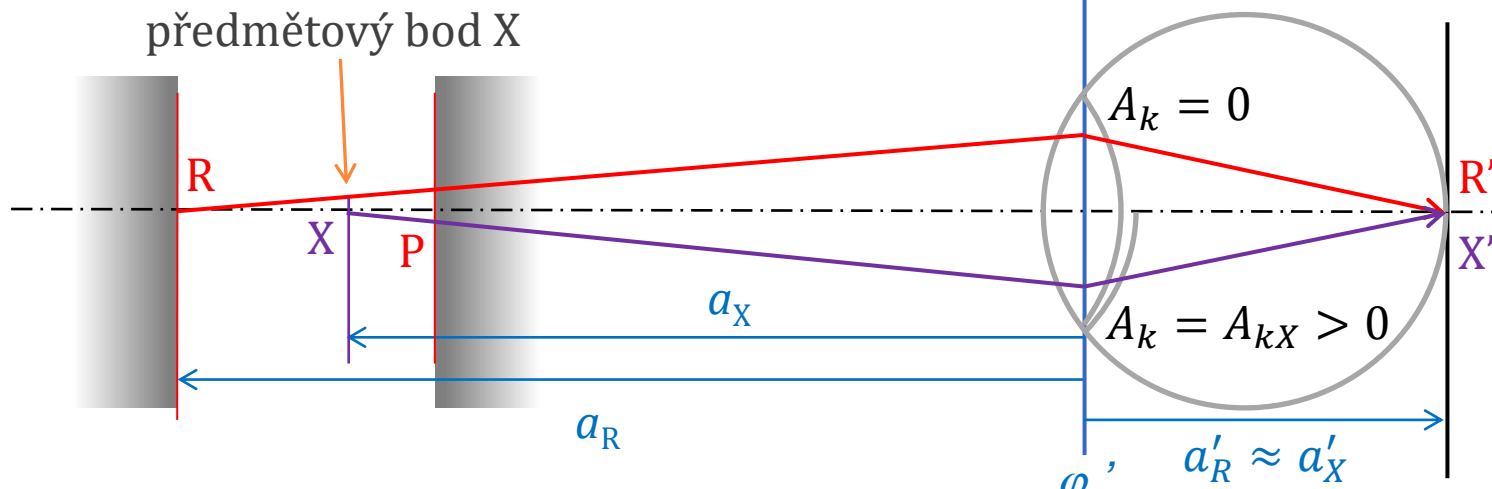
Akomodace



možnosti přeostření z $A \rightarrow B$

1. změna optické mohutnosti φ'_o zobrazovací soustavy (u lidského oka a oka obratlovců převládá)
2. změna polohy optické soustavy nebo detektoru (jen v malé míře, obvyklé u ryb a obojživelníků)

Akomodace



$$\text{Gaussova rovnice: } A'_X = A_X + \varphi'_{o,X} \quad A'_R = A_R + \varphi'_{o,min}$$

$$A_{kX} = \varphi'_{o,X} - \varphi'_{o,min} = A'_X - A_X - A'_R + A_R \approx A_R - A_X$$

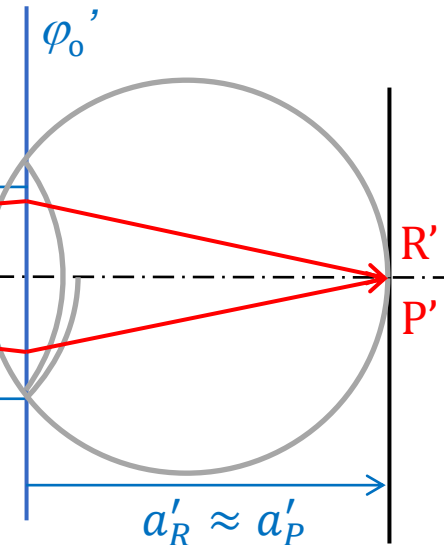
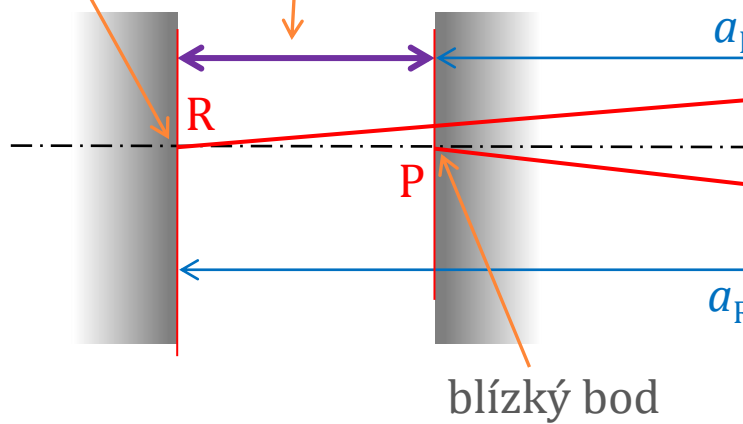
akomodace

... rozdíl mohutnosti oka $\varphi'_{o,X}$ při pozorování bodu X ležícího v akomodačním intervalu a $\varphi'_{o,min}$ při minimální akomodaci odpovídající pozorování dalekého bodu R zanedbáme-li posun hlavních rovin oka při akomodaci: $a'_R \approx a'_X$, je akomodace přibližně rovna rozdílu vergencí svazků (v místě rohovky) odpovídajících oběma bodům

Akomodační interval a šíře

(a_R, a_P) ... akomodační interval

daleký bod



$$A_s = \varphi_{o,max}' - \varphi_{o,min}' \approx A_R - A_P$$

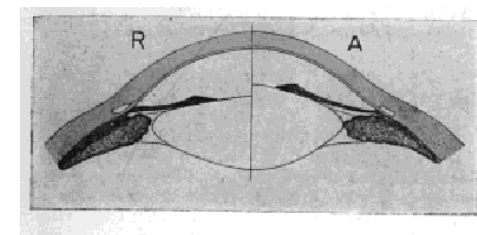
akomodační šíře (akomodační amplituda)

... rozdíl mohutností oka při maximální a minimální akomodaci

zanedbáme-li posun hlavních rovin oka při akomodaci: $a'_R \approx a'_P$, je přibližně rovna rozdílu vergencí svazků (v místě rohovky) odpovídajících dalekému a blízkému bodu oka

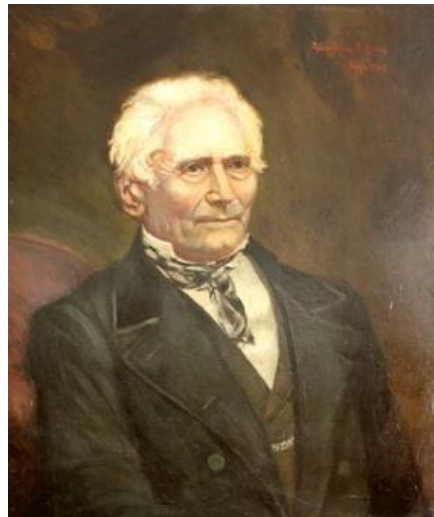
Mechanismus akomodace

- Jan Kepler (1571 – 1630): v r. 1611 si uvědomil, že různě vzdálené objekty jsou zobrazovány na sítnici, tudíž je akomodace nezbytná
- Christoph Scheiner (1573 – 1650): v r. 1619 demonstroval schopnost oka akomodovat pomocí tzv. *Scheinerova disku*
- René Descartes (1596 - 1650): poprvé navrhl, že by akomodaci mohla působit změna tvaru oční čočky
- Thomas Young (1773 – 1829): eliminoval vliv rohovky skleněnou čočkou připevněnou k oku s vodní imerzí a stále byl schopen akomodovat, tj. prokázal, že rohovka neodpovídá za akomodaci; ukázal také, že akomodace nenastává změnou délky oka
- Purkyně, Langenbeck, Donders, Cramer: výzkum *Purkyňových obrazů*
- Herman von Helmholtz (1821 – 1894): *relaxační teorie*: napjatá zonulární vlákna udržují čočku v oploštělém tvaru, při uvolnění (relaxaci) vláken nabývá čočka tvaru s vyšší křivostí ploch
- Marius Tscherning (1854 – 1939)
- Edgar F. Fincham 1937: modifikovaná Helmholtzova teorie, takřka odpovídající dnešním poznatkům a moderní teorii



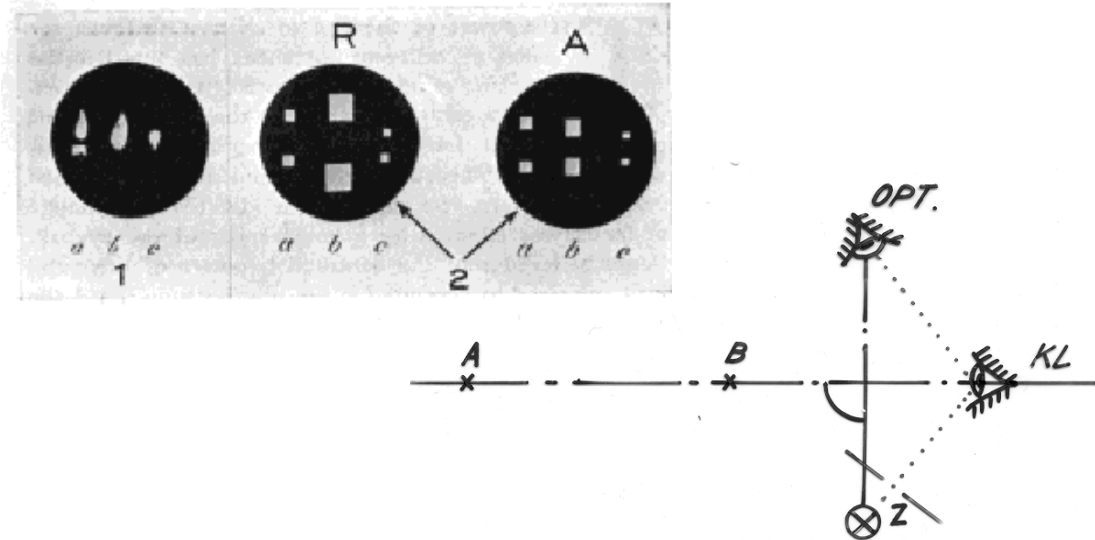
A. Tunnacliffe: Introduction to Visual Optics, ABDO, Canterbury 1993.

Mechanismus akomodace: Purkyňovy obrazy

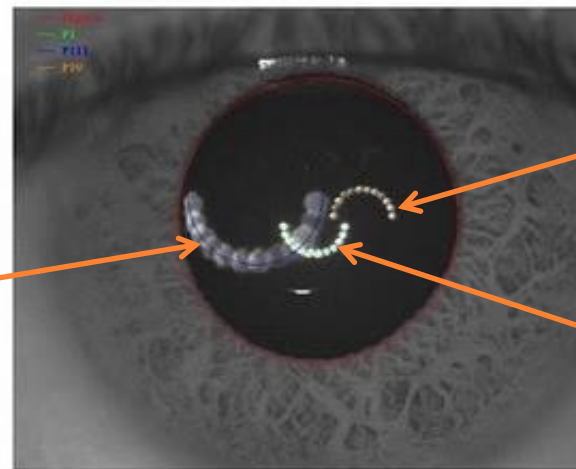


Jan Evangelista Purkyně
(1787 - 1869)

v r. 1823 pozoroval nejen reflexi od rohovky, známou dříve, ale také dvě reflexe od oční čočky:



odraz na přední
lámové ploše čočky
(P III)



odraz na zadní
lámové ploše čočky
(P IV)

odraz na přední
lámové ploše
rohovky (P I)

Purkyňovy obrazy

oko:
neakomodované (R) – akomodované (A)

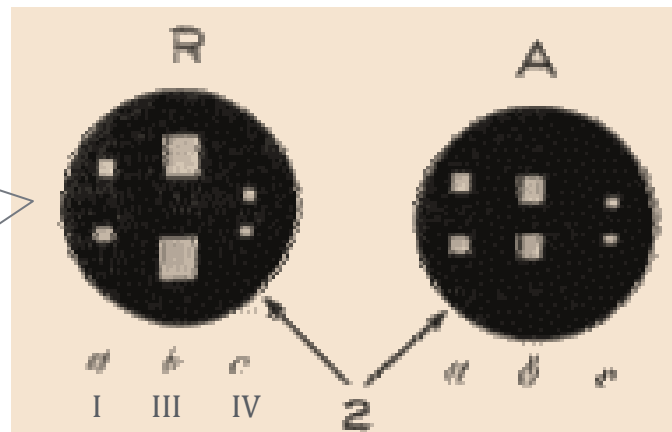


Table 12.3 The Purkinje images (calculated from Le Grand's schematic eye)

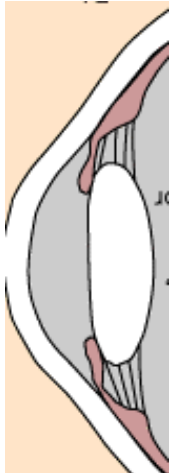
Image No.	Relative brightness	Unaccommodated eye				Eye accommodated 6.96 D (distant object)	
		Distant object		Object at 500 mm		Image position (mm)	Relative size
		Image position (mm)	Relative size	Image position (mm)	Relative size		
I	1	+3.900	1	+3.870	1	+3.900	1
II	0.010	+3.605	0.820	+3.585	0.821	+3.605	0.820
III	0.008	+10.726	1.971	+10.610	1.945	+6.200	1.102
IV	0.008	+4.625	-0.763	+4.325	-0.762	+5.237	-0.773

Image positions expressed as their distances from the anterior corneal vertex.

I, II ... lámavé plochy rohovky, III, IV ... lámavé plochy čočky

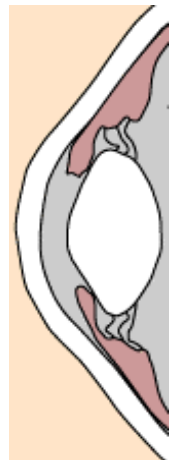
A. G. Bennett, R. B. Rabbetts: Clinical Visual Optics. Elsevier Health Sciences, 1998.

Mechanismus akomodace



$A_k = 0$

1. Je-li ciliární sval relaxován ($A_k = 0$), udržuje elasticá tkáň ciliárního tělíska zonulární vlákna napjata, pouzdro udržuje čočku v oploštělém tvaru (poloměry křivosti vnějších ploch čočky: +10 mm, -6 mm), oko vidí do dálky.
2. Při akomodaci do blízka ($A_k > 0$) je ciliární sval stažen, ciliární tělísko se pohybuje vpřed a stahuje se ke středu, a tím je uvolněno napětí zonulárních vláken.
3. Elasticý obal (kapsule) stlačuje čočku a za pomoci tlaku sklivce se první (přední) plocha čočky vydouvá do tvaru s vyšší křivostí – v místech, kde je kapsule nejtenčí (poloměry křivosti vnějších ploch čočky: +5,33 mm, -5,33 mm)
4. Při návratu k vidění do dálky ciliární sval relaxuje, elasticá tkáň ciliárního tělíska napíná zonule a s pomocí elasticity čočky je čočka stažena do ploššího, tenčího tvaru.



$A_k > 0$

A. Tunnacliffe: Introduction to Visual Optics, ABDO, Canterbury 1993.

Gullstrandovo oko – akomodační klid

plocha č.	1	2	3	4	5	6
n'	1,376	1,336	1,386	1,406	1,386	1,336
n	1	1,376	1,336	1,386	1,406	1,386
r	7,7	6,8	10	7,911	-5,76	-6
d	0,5	3,1	0,546	2,419	0,635	
x ₁ plochy	0	0,5	3,6	4,146	6,565	7,2
x	nekon.	27,6787	27,3808	25,2193	22,0391	19,9691
n/x	0	0,04971	0,04879	0,05496	0,0638	0,06941
φ = (n'-n)/r	0,04883	-0,0059	0,005	0,00253	0,00347	0,00833
n'/x'	0,04883	0,04383	0,05379	0,05749	0,06727	0,07774
x'	28,1787	30,4808	25,7653	24,4581	20,6041	17,1854
x'-d	27,6787	27,3808	25,2193	22,0391	19,9691	
x'/(x'-d)	1,01806	1,11322	1,02165	1,10976	1,0318	
$f_R' = 31,0314$						

$$\begin{aligned}x'(F') &= 17,1854 \text{mm} \\x'(H') &= -5,5992 \text{mm} \\x'(N') &= 0,13106 \text{mm}\end{aligned}$$

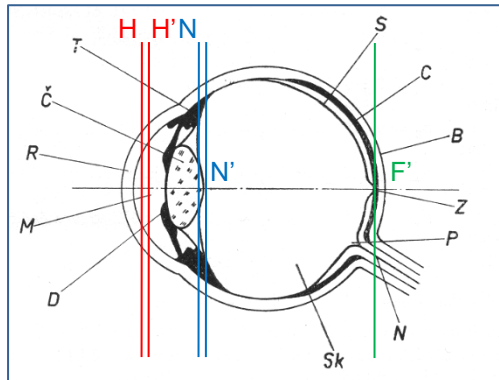
$$\begin{aligned}x_1(F') &= 24,3854 \text{mm} \\x_1(H') &= 1,6008 \text{mm} \\x_1(N') &= 7,33106 \text{mm}\end{aligned}$$

$$\begin{aligned}f' &= 22,7846 \text{mm} \\φ'_c &= 58,6361 \text{D}\end{aligned}$$

6	5	4	3	2	1
1,386	1,406	1,386	1,336	1,376	1
1,336	1,386	1,406	1,386	1,336	1,376
6	5,76	-7,911	-10	-6,8	-7,7
0,635	2,419	0,546	3,1	0,5	
nekon.	165,685	116,356	94,3094	64,73	92,7424
0	0,00837	0,01208	0,0147	0,02064	0,01484
0,00833	0,00347	0,00253	0,005	-0,0059	0,04883
0,00833	0,01184	0,01461	0,0197	0,01476	0,06367
166,32	118,775	94,8554	67,83	93,2424	15,7065
165,685	116,356	94,3094	64,73	92,7424	
1,00383	1,02079	1,00579	1,04789	1,00539	

$$\begin{aligned}x(F) &= -15,706 \text{mm} \\x(H) &= 1,34786 \text{mm} \\x(N) &= 7,07811 \text{mm}\end{aligned}$$

$$\begin{aligned}x_1(F) &= -15,706 \text{mm} \\x_1(H) &= 1,34786 \text{mm} \\x_1(N) &= 7,07811 \text{mm}\end{aligned}$$



R - rohovka
M - komorová voda
Č - čočka
Sk - sklivec
S - sítnice
Z - žlutá skvrna
D - duhovka
T - ciliární sval
C - cévnatka
B - bělima
P - papila, slepá skvrna
N - oční nerv

Gullstrandovo oko – akomodační maximum

plocha č.	1	2	3	4	5	6
n'	1,376	1,336	1,386	1,406	1,386	1,336
n	1	1,376	1,336	1,386	1,406	1,386
r	7,7	6,8	5,33	2,655	-2,655	-5,33
d	0,5	2,7	0,6725	1,655	1,6725	
x ₁ plochy	0	0,5	3,2	3,8725	5,5275	7,2
x	nekon.	27,6787	27,7808	23,4437	19,4392	15,6827
n/x	0	0,04971	0,04809	0,05912	0,07233	0,08838
φ = (n'-n)/r	0,04883	-0,0059	0,00938	0,00753	0,00753	0,00938
n'/x'	0,04883	0,04383	0,05747	0,06665	0,07986	0,09776
x'	28,1787	30,4808	24,1162	21,0942	17,3552	13,6663
x'-d	27,6787	27,7808	23,4437	19,4392	15,6827	
x'/(x'-d)	1,01806	1,09719	1,02869	1,08514	1,10665	
f'_R = 31,0314						

$$\begin{aligned} x'(F') &= 13,6663 \text{ mm} \\ x'(H') &= -5,1912 \text{ mm} \\ x'(N') &= -0,4486 \text{ mm} \end{aligned}$$

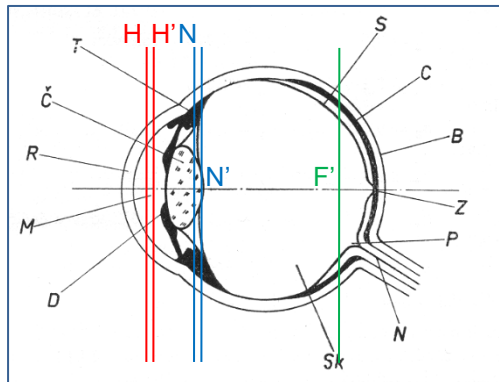
$$\begin{aligned} x_1(F') &= 20,8663 \text{ mm} \\ x_1(H') &= 2,0088 \text{ mm} \\ x_1(N') &= 6,75141 \text{ mm} \end{aligned}$$

$$\begin{aligned} f' &= 18,8575 \text{ mm} \\ \varphi'_c &= 70,8471 \text{ D} \end{aligned}$$

6	5	4	3	2	1
1,386	1,406	1,386	1,336	1,376	1
1,336	1,386	1,406	1,386	1,336	1,376
5,33	2,655	-2,655	-5,33	-6,8	-7,7
1,6725	1,655	0,6725	2,7	0,5	
nekon.	146,075	80,9477	54,9853	35,9265	43,4551
	0	0,00949	0,01737	0,02521	0,03719
	0,00938	0,00753	0,00753	0,00938	-0,0059
	0,00938	0,01702	0,0249	0,03459	0,0313
	147,748	82,6027	55,6578	38,6265	43,9551
	146,075	80,9477	54,9853	35,9265	43,4551
	1,01145	1,02045	1,01223	1,07515	1,01151

$$\begin{aligned} x(F) &= -12,423 \text{ mm} \\ x(H) &= 1,69193 \text{ mm} \\ x(N) &= 6,43454 \text{ mm} \end{aligned}$$

$$\begin{aligned} x_1(F) &= -12,423 \text{ mm} \\ x_1(H) &= 1,69193 \text{ mm} \\ x_1(N) &= 6,43454 \text{ mm} \end{aligned}$$



R - rohovka
 M - komorová voda
 Č - čočka
 Sk - sklivec
 S - sítnice
 Z - žlutá skvrna
 D - duhovka
 T - ciliární sval
 C - cévnatka
 B - bělima
 P - papila, slepá skvrna
 N - oční nerv

Změna parametrů Gullstrandova oka při akomodaci

akomodační klid:

$$x_1(F) = -15,706 \text{ mm}$$

$$x_1(H) = 1,34786 \text{ mm}$$

$$x_1(N) = 7,07811 \text{ mm}$$

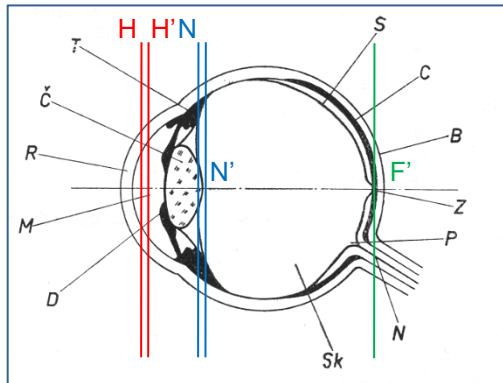
$$x_1(F') = 24,3854 \text{ mm}$$

$$x_1(H') = 1,6008 \text{ mm}$$

$$x_1(N') = 7,33106 \text{ mm}$$

$$f' = 22,7846 \text{ mm}$$

$$\varphi'_o = 58,6361 \text{ D}$$



čočka:

$$\varphi'_c = 19,1109 \text{ D}$$

akomodační maximum:

$$x_1(F) = -12,423 \text{ mm}$$

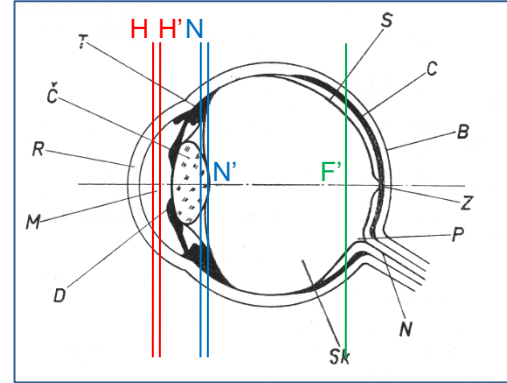
$$x_1(H) = 1,69193 \text{ mm}$$

$$x_1(N) = 6,43454 \text{ mm}$$

$$x_1(F') = 20,8663 \text{ mm}$$

$$x_1(H') = 2,0088 \text{ mm}$$

$$x_1(N') = 6,75141 \text{ mm}$$

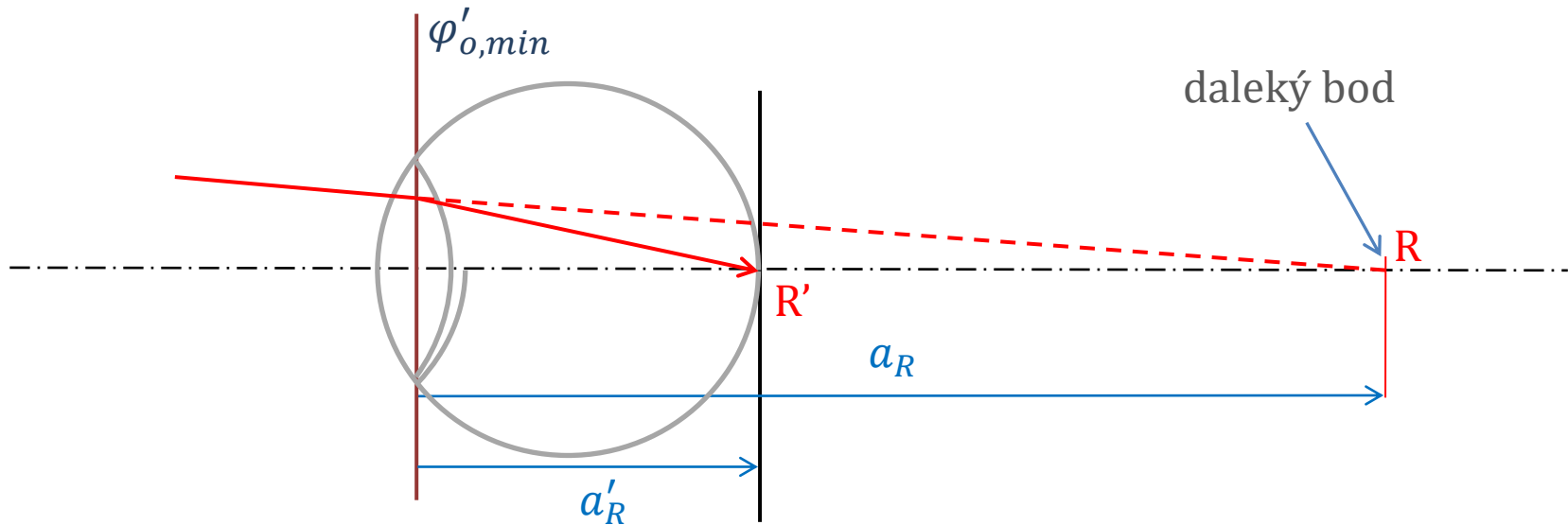


čočka:

$$\varphi'_c = 33,1060 \text{ D}$$

- **mohutnost čočky** se zvýší asi o +14,0 D
- **mohutnost oka** se zvýší asi o +12,2 D (21 %)
- **ohniskové vzdálenosti** se zkrátí asi o 17 %
- **hlavní roviny** se posunou směrem **od rohovky** asi o 0,35-0,40 mm
- **uzlové body** se posunou směrem **k rohovce** asi o 0,6 mm

Daleký bod Gullstrandova oka

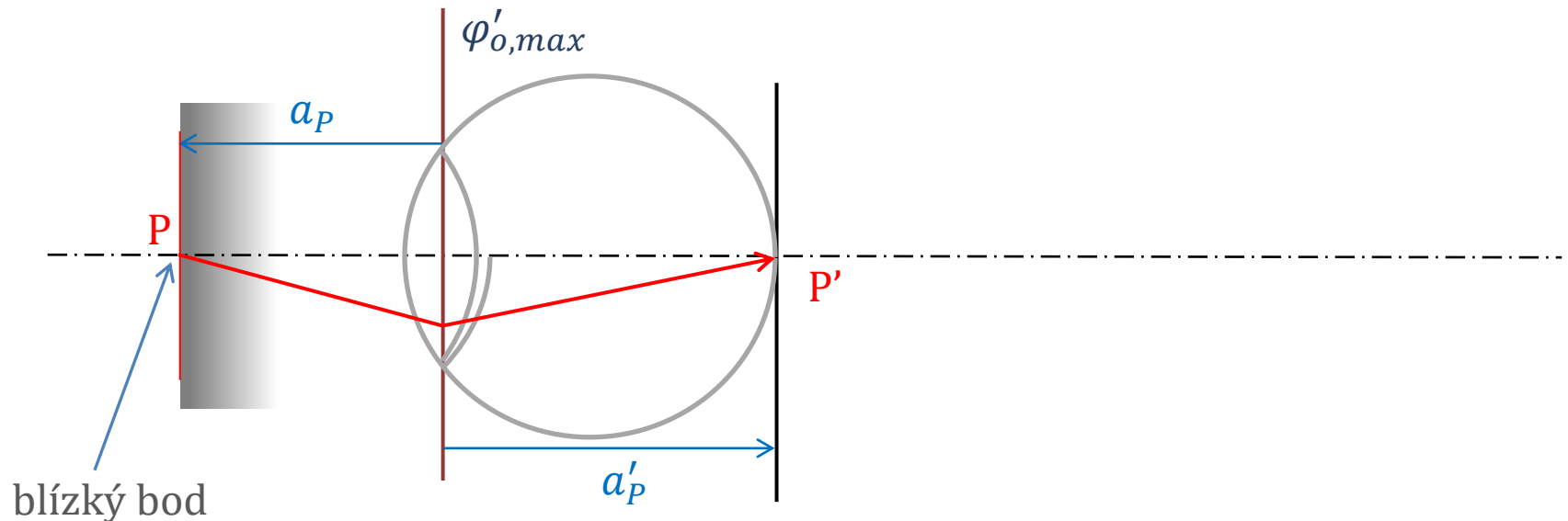


DALEKÝ BOD:

$$a_R = 1/A_R, \quad A_R = A_R^1 - \varphi_{o,min}^1 = \frac{m_s}{z_R'} - \varphi_{o,min}^1 = \frac{m_s}{d_o - d_R H_o} - \varphi_{o,min}^1 = \frac{1,336}{0,024 - 0,0016} D - 58,6361 D$$

$$\boxed{A_R = 1,009 \text{ D}} \\ \boxed{a_R = 99,1 \text{ cm}}$$

Blízký bod Gullstrandova oka

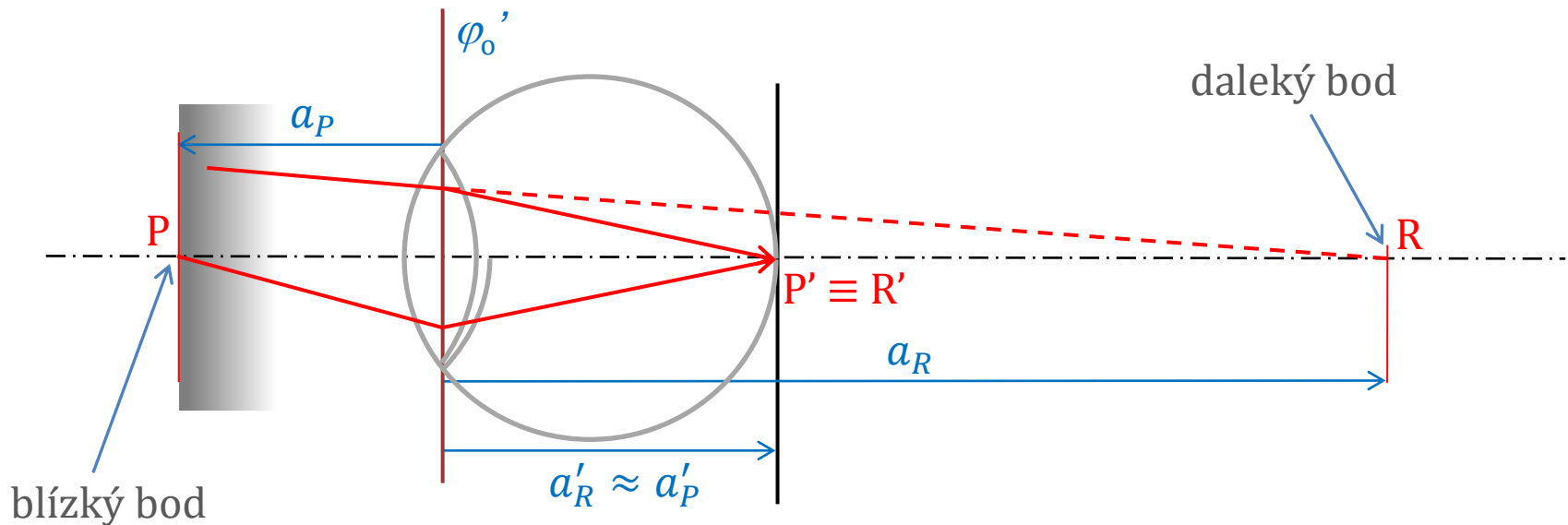


BLÍZKÝ BOD :

$$z_P = \frac{1}{A_P}, A_P = A_P^l - \varphi_{o,max}^l = \frac{n_s}{a_P^l} - \varphi_{o,max}^l = \frac{1,336}{0,024 - 0,002} D - 70,8471 D$$

$$\boxed{A_P = -10,095 D \\ a_P = -9,9 \text{ cm}}$$

Blízký a daleký bod Gullstrandova oka



$$A_R = 1,009 \text{ D}$$

$$a_R = 99,1 \text{ cm}$$

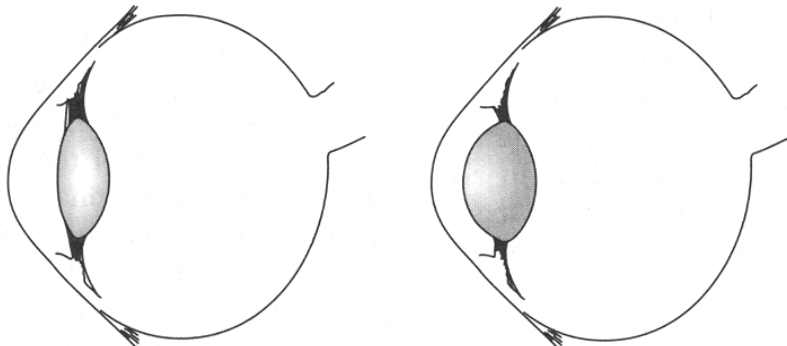
$$A_P = -10,095 \text{ D}$$

$$a_P = -9,9 \text{ cm}$$

$$A_R - A_P = 11,104 \text{ D}$$

$$\varphi_{o,max}' - \varphi_{o,min}' = 12,211 \text{ D}$$

změna parametrů Gullstrandova oka při akomodaci



	akom. klid	akom. max.
Indexy lomu :		
rohovka	1,376	1,376
komorová voda a sklivec	1,336	1,336
čočka ekvivalentní	1,406	1,406
čočka	1,386	1,386
Místo :		
první lámová plocha rohovky	0	0
druhé lámové plochy rohovky	0,5	0,5
první lám. plochy čočky	3,6	3,2
první lám. pl. ekviv. čočky	4,146	3,8725
druhé lám. pl. ekviv. čočky	6,565	5,5275
druhé lám. pl. čočky	7,2	7,2
optické centrum čočky		
Poloměry zakřivení :		
první lám. p. rohovky	7,7	7,7
druhé lám. pl. rohovky	6,8	6,8
ekviv. pl. čočky		
první lám. pl. čočky	10,000	5,33
první lám. pl. ekviv. čočky	7,911	2,655
druhé lám. pl. ekviv. čočky	5,76	2,655
druhé lám. pl. čočky	6,000	5,33
Optická mohutnost :		
první lám. pl. rohovky	48,83	48,83
druhé lám. pl. rohovky	-5,88	-5,88
ekviv. pl.		
první lám. pl. čočky	5,000	9,375
jádra čočky	5,985	14,96
druhé lám. pl. čočky	8,33	9,375
Rohovkový systém :		
optická mohutnost	43,05	43,05
místo předmětového hl. bodu	-0,0496	-0,0496
místo obrazového hl. bodu	-0,0506	-0,0506
předmětová ohnisková vzdálenost	-23,227	-23,227
obrazová ohnisková vzdálenost	31,031	31,131
Čočkový systém :		
optická mohutnost	19,11	33,06
místo předmětového hl. bodu	5,678	5,145
místo obrazového hl. bodu	5,808	5,255
ohnisková vzdálenost	69,908	40,416
Celkový systém :		
optická mohutnost	58,64	70,57
místo předmětového hl. bodu	1,348	1,722
místo obrazového hl. bodu	1,602	2,086
místo předm. ohniska	-15,707	-12,397
místo obraz. ohniska	24,387	21,016
předm. ohnisk. vzdál	-17,055	-14,169
obraz. ohnisk. vzdál	22,785	18,030
místo fovey centralis	24,00	24,00
axiální refrakce	1,00	-9,6
místo blízkého bodu P		102,3
skutečný střed otáčení oka C'	13,0	13,0
místo předmětového uzlového bodu	7,078	6,533
místo obraz. uzlového bodu	7,332	6,847
místo vstupní pupily	3,047	2,668
místo výstupní pupily	3,667	3,212

Arizona Eye Model

Name	Radius	Conic	Index	Abbe	Thickness
Cornea	7.8 mm	-0.25			
	6.5 mm	-0.25	1.377	57.1	0.55 mm
Aqueous			1.337	61.3	t_{aq}
	R_{ant}	K_{ant}			
Lens			n_{lens}	51.9	t_{lens}
	R_{post}	K_{post}			
Vitreous			1.336	61.1	16.713 mm
Retina	-13.4 mm	0.00			

$$R_{ant} = 12.0 - 0.4A$$

$$R_{post} = -5.224557 + 0.2A$$

$$t_{aq} = 2.97 - 0.04A$$

$$n_{lens} = 1.42 + 0.00256A - 0.00022A^2$$

$$K_{ant} = -7.518749 + 1.285720A$$

$$K_{post} = -1.353971 - 0.431762A$$

$$t_{lens} = 3.767 + 0.04A$$

A ..
accommodation
in diopters

$$Z = \frac{r^2 / R}{1 + \sqrt{1 - (K + 1) \frac{r^2}{R^2}}}$$

Z = sag of surface

$$r^2 = x^2 + y^2$$

R = radius of curvature

K = conic constant

$K < -1$	Hyperboloid
$K = -1$	Paraboloid
$-1 < K < 0$	Prolate Spheroid (Ellipsoid)
$K = 0$	Sphere
$K > 0$	Oblate Spheroid (Ellipsoid)

Orientační měření akomodace

- nutný je (pseudo)emetropický stav oka
- testovací obrazec (Duaneův test, Glaserův test, zmenšená Snellenova tabule) se přibližuje k oku až do rozmazání, nebo vzdaluje od oka až do zaostření
- akomodační šíře je pak dána vergencí vzdálenosti blízkého bodu P od předmětové hlavní roviny oka

$$A_S \approx A_R - A_P = \frac{1}{a_R} - \frac{1}{a_P} = \left| \frac{1}{a_P} \right|$$



DUANEŮV TEST

5m 1,45 mm
1m 0,29 mm

GLASERŮV TEST



Relativní akomodace

- měříme schopnost oka kompenzovat vliv (dodatečné) brýlové čočky
- **pozitivní relativní akomodace (PRA)** je absolutní hodnota nejnižší (záporné) vrcholové lámavosti *rozptylné* brýlové čočky, při níž je ještě předmět vnímán ostře
- **negativní relativní akomodace (NRA)** je absolutní hodnota nejvyšší vrcholové lámavosti *spojsné* brýlové čočky, při níž je ještě předmět vnímán ostře
- při korekci presbyopie by korekční čočka měla zaručit PRA = NRA při pohledu do standardní pracovní vzdálenosti – pak je interval ostrého vidění dioptricky centrován kolem bodu pozorování

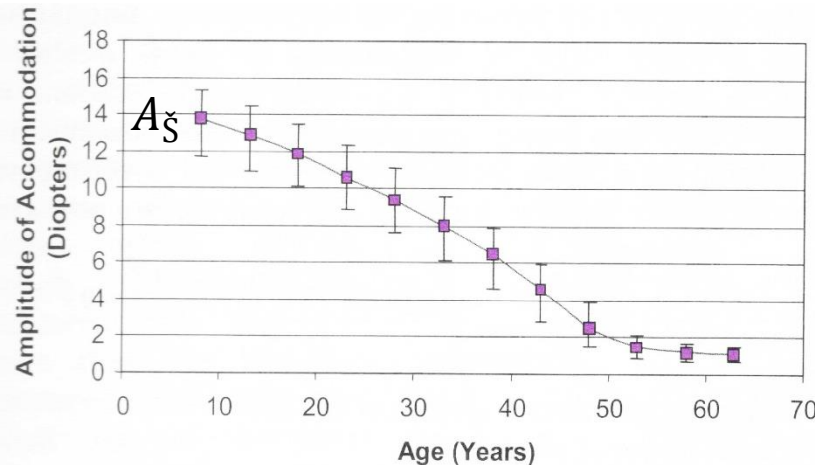
Definice blízkého bodu

- akomodační šíře je v (pseudo)emetropickém stavu oka dána vergencí vzdálenosti blízkého bodu P od předmětové hlavní roviny oka
- **Fyzikální – manifestní blízký bod** = skutečně dosažitelný blízký bod (jak jej chápeme my)
- odpovídá mu manifestní akomodační šíře (akomodační šíře, jak ji chápeme my)
- **Fyziologický – latentní blízký bod** = bod, který by oko zobrazilo ostře při maximální kontrakci ciliárního svalu, pokud by to připustila elastická schopnost čočky
- odpovídá mu totální akomodační šíře

Klidová (zbytková) akomodace

- při prázdném zorném poli nebo ve tmě má emetropické oko o 1,0 D – 1,5 D větší mohutnost, než minimální, což odpovídá ostrému zobrazení předmětu ze vzdálenosti 1 m – 2/3 m, tj. oko je efektivně myopické
- **noční myopie** je posun k myopii při nízkém osvětlení (cca o 1,5 D, ale i více) vlivem otvorové vady při zvětšené pupile oka, vlivem osové barevné vady při posuvu maximální spektrální citlivosti k 500 nm (Purkyňův posuv) a nadměrné akomodace
- **přístrojová myopie** je nadměrná akomodace po použití přístrojů s okuláry

Závislost akomodační šíře na věku



J. Schwiegerling: Field Guide to Visual and Ophthalmic Optics. SPIE, Bellingham 2004, str. 25.

TABLE 8-1. AMPLITUDE OF ACCOMMODATION AS A FUNCTION OF AGE

Age (years)	A _S	Typical Amplitude of Accommodation (diopters) ^a
10		12.50
20		9.75
30		7.25
40		4.00
50		2.50
60		1.25
70		0.50
75		0.00

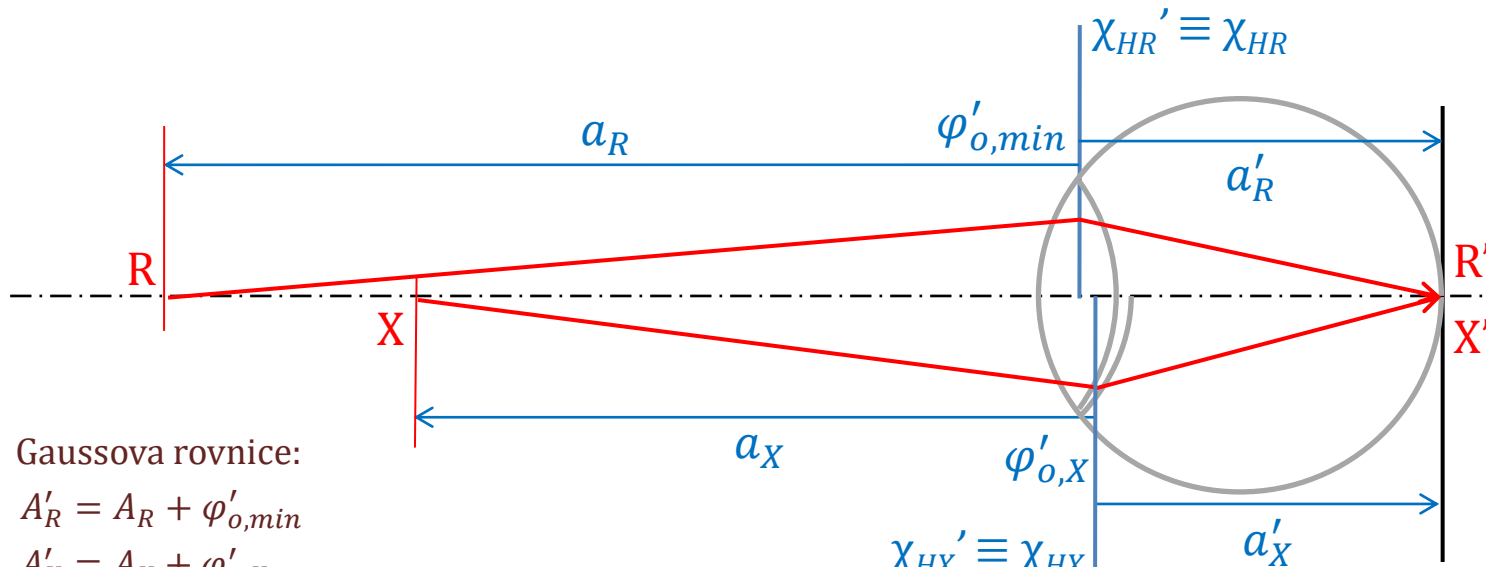
^aExtrapolated from the data of Donders (1864) and Duane (1912).

S. H. Schwartz : Geometrical and Visual Optics – A Clinical Introduction. McGraw Hill, New York 2002, str. 97.

- výsledky měření značně záleží na použité metodě
- akomodační šíře se zmenšuje asi o 0,25 D ročně od 20 let věku
- příčinou je zejména:
 - ztráta elasticity kapsule
 - růst čočky s věkem
 - redukce prostoru mezi ciliárním těliskem a okrajem čočky (růst čočky, hypertrofie ciliárního svalu), která vede ke snížení napětí zonulí
- asi od 30. roku věku začíná jádro čočky tuhnout

(Tunnacliffe)

Přesný optický rozbor akomodace



Gaussova rovnice:

$$A'_R = A_R + \varphi'_{o,min}$$

$$A'_X = A_X + \varphi'_{o,X}$$

$$A_R - A_X = \varphi'_{o,X} - \varphi'_{o,min} - (A'_X - A'_R) = A_{kX} - \Delta A'_X$$

(nezanedbáváme posun hlavních rovin oka při akomodaci: $a'_X \neq \text{konst}$)

předpokládejme:

$$\Delta A'_X \approx \text{konst} \cdot A_{kX}$$

Gullstr. oko, X .. blízký bod:

$$A_R - A_P \approx 11 \text{ D}$$

$$\varphi'_{o,max} - \varphi'_{o,min} \approx 12,2 \text{ D}$$

$$\Delta A'_P \approx 1,2 \text{ D}$$

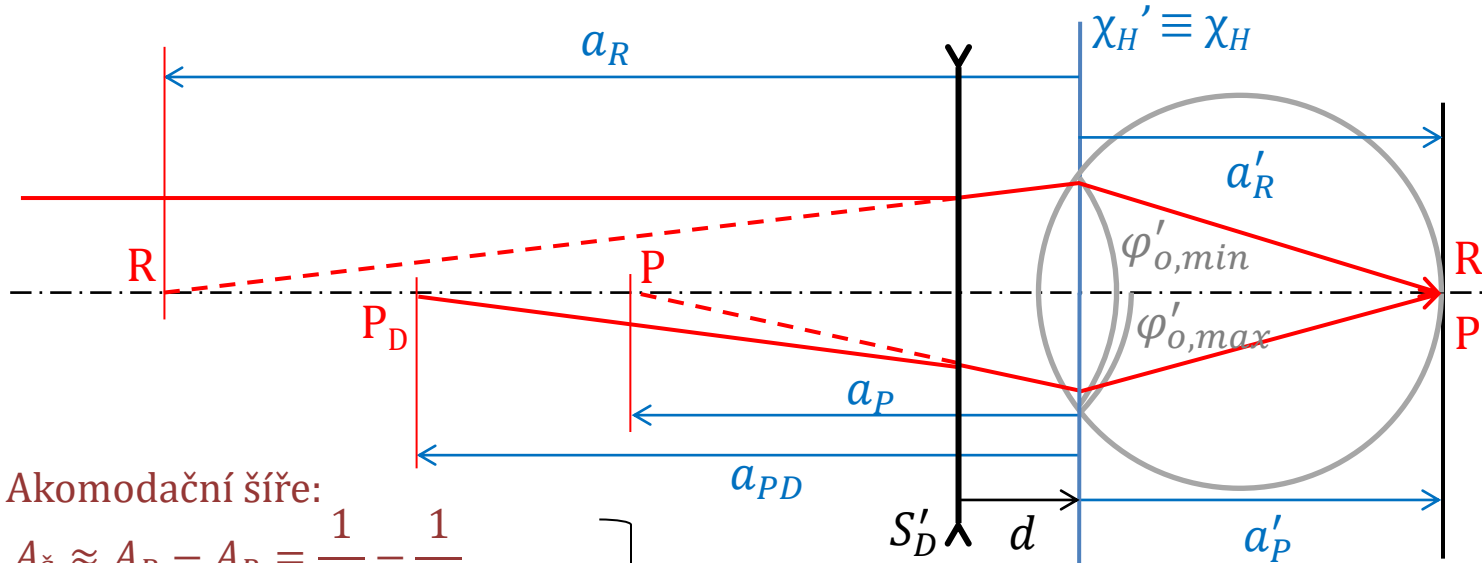
$$\text{konst} \approx 0,1$$

$$A_R - A_X = A_{kX} - 0,1A_{kX} = 0,9A_{kX}$$

↑

Graeffův faktor

Akomodace s korekcí do dálky



Emetrop též akomodační šíře:

$$a_P^E \approx -\frac{1}{A_{\check{S}}}$$

Gaussova rovnice pro BČ:

$$\frac{1}{a_P + d} \approx \frac{1}{a_{PD} + d} + S'_D$$

a současně platí:

$$S'_D = \frac{A_R}{1 + A_R d}$$

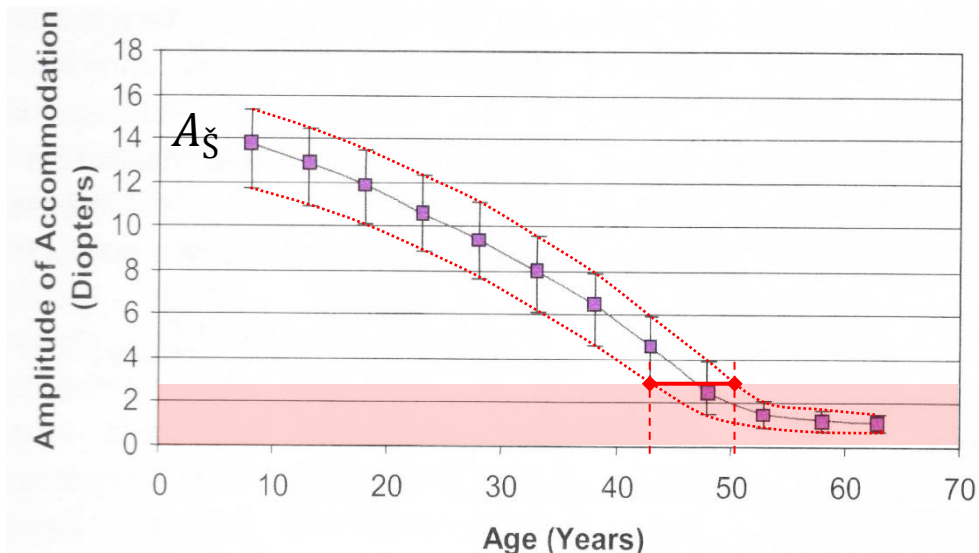
$$a_{PD} = a_P^E \left[1 + A_R d \left(2 - \left| \frac{d}{a_P} \right| \right) \right] \approx a_P^E (1 + 2 A_R d)$$

Myop (**hypermetrop**) má s korekcí do dálky blízký bod blíže k oku (**dále od oka**) ve srovnání s emetropem též akomodační šíře.

Pro $d = 12$ mm platí $a_{PD} \approx a_P^E (1 + 0,024 A_R)$.

Vzdálenost blízkého bodu s korekcí do dálky (P_D) se tedy liší od případu emetropického oka se stejnou akomodační šíří o 2,4 % na každou dioptriю axiální refrakce.

Presbyopie



J. Schwiegerling: Field Guide to Visual and Ophthalmic Optics. SPIE, Bellingham 2004, str. 25.

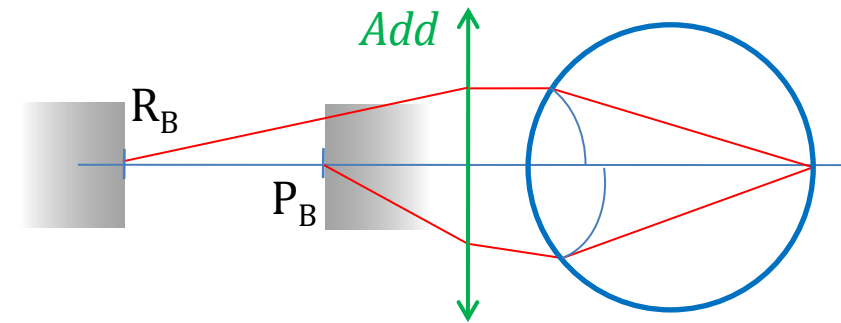
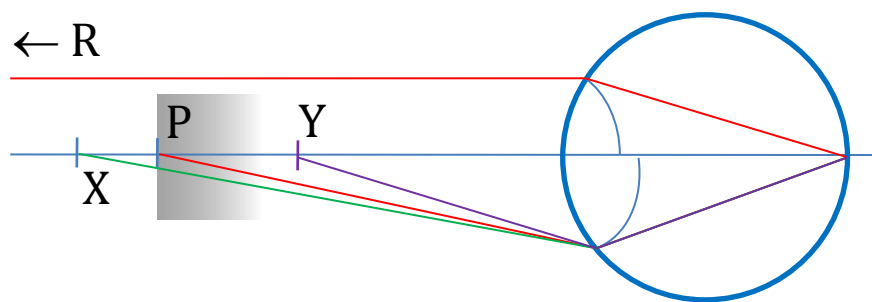
- pokles akomodační šíře pod cca 3 dioptrie (Tunnacliffe)
- blízký bod je pak vzdálen o více než 33 cm od oka
- koriguje se tzv. přídavkem do blízka (adicí) Add, o nějž se zvyšuje přirozená akomodace oka, tj. platí $A'_k \approx A_k + Add$
- v tomto případě postačuje přibližný výpočet, tj. nepřepočítáváme lámavost podle vzdálenosti brýlové čočky

Korekce presbyopie

Technické možnosti korekce presbyopie:

- spojná (pozitivní) brýlová čočka
- bifokální brýlové čočky (pro ametropa, dolní část obsahuje přídavek do blízka)
- trifokální brýlové čočky (s mezidílem, nepříliš rozšířené, nahrazovány progresivními)
- progresivní brýlové čočky (čočky s progresivní adicí, brýlové čočky s mohutností proměnnou ve vertikálním směru)
- kontaktní čočky, případně v kombinaci s brýlovými (monofokální, bifokální, monovision – jedna čočka koriguje do dálky, druhá do blízka, simultánní design – v oblasti pupily je zóna pro vidění do blízka i do dálky, translační design – posouvá se vůči pupile)
- multifokální či akomodující nitrooční čočky (změna tvaru)

Korekce presbyopie pro emetropické oko



při pozorování bodu X v akomodačním intervalu je nutná akomodace (emetrop, tj. $A_R = 0$)

$$A_{kX} = A_R - A_X = -A_X = -1/a_X$$

daleký bod R pozorujeme vždy bez akomodace

$$A_{kR} = A_R - A_R = 0$$

pro blízký bod P je naopak nutná maximální akomodace

$$A_{kP} = A_R - A_P = -A_P = -1/a_P = A_s$$

chceme-li pozorovat ještě bližší bod Y, potřebovali bychom akomodaci $A_{kY} > A_s$; musíme tedy určitou reálnou akomodaci $A_k \leq A_s$ uměle zvětšit o přídavek do blízka Add

$$A_k + Add = A_{kY} = -A_Y = -1/a_Y > A_s$$

přídavek Add působí jako permanentní akomodace; relaxované oko pozoruje ostře bod odpovídající této umělé akomodaci, vzniká umělý daleký bod R_B , pro nějž platí

$$Add = -A_{RB} = -1/a_{RB}$$

a také blízký bod se přesouvá blíže oku do pozice P_B odpovídající maximální akomodaci A_s zvětšené o přídavek Add

$$A_s + Add = -1/a_{PB}$$

interval ostrého vidění je pak

$$(a_{RB}, a_{PB}) = \left(-\frac{1}{Add}, -\frac{1}{Add + A_s} \right)$$

Vhodná volba adice

$$(a_{RB}, a_{PB}) = \left(-\frac{1}{Add}, -\frac{1}{Add + A_s} \right)$$

rozhoduje poloha hlavního pracovního bodu HPB, jeho vzdálenost h od oka:

$$Add = -1/h \quad (\text{extrém})$$



$$Add = -1/h - A_s/2$$



$$Add = -1/h - 2A_s/3$$



$$Add = -1/h - A_s \quad (\text{extrém})$$

R_B



$$(h = -20 \text{ cm} \quad A_s = 3,0 \text{ D})$$

$$Add \text{ (D)} \approx age/8 - 5,00 \pm 0,25$$

(pro zajímavost, za předpokladu pracovní vzdálenosti 40 cm podle W. F. Longa 1992)

Korekce presbyopie pro ametropické oko

Myopické oko

K záporné vrcholové lámavosti S'_D korekční čočky do dálky přičítáme adici Add , tím dostáváme celkovou vrcholovou lámavost S'_B brýlové čočky pro korekci do blízka

$$S'_B = S'_D + Add.$$

Mohou nastat tři situace:

1. $Add < |S'_D|$, pak $S'_B < 0$ (korekce do blízka slabší rozptylkou)
2. $Add = |S'_D|$, pak $S'_B = 0$ (do blízka bez korekce)
3. $Add > |S'_D|$, pak $S'_B > 0$ (korekce do blízka spojkou)

Hypermetropické oko

Ke kladné vrcholové lámavosti S'_D korekční čočky do dálky přičítáme adici Add , tím dostáváme celkovou vrcholovou lámavost S'_B brýlové čočky pro korekci do blízka, pro níž vždy platí

$$S'_B = S'_D + Add > S'_D.$$

Intervaly ostrého vidění

Bez korekce

Interval ostrého vidění je vymezen (přirozeným) dalekým a blízkým bodem oka R a P:

$$a_R = \frac{1}{A_R} \quad a_P = \frac{1}{A_R - A_s}$$

S korekcí do dálky

Interval ostrého vidění je vymezen umělým dalekým a blízkým bodem oka R_D a P_D, jejichž polohu udávají předchozí vztahy pro $A_R \rightarrow 0$ (pseudoemetropie):

$$a_{RD} \rightarrow \infty \quad a_{PD} = -\frac{1}{A_s}$$

S korekcí do blízka

Interval ostrého vidění je vymezen umělým dalekým a blízkým bodem oka R_B a P_B, jejichž polohu udává vztah, který lze odvodit ze vztahu pro a_{PD} tak, že uvažujeme nulovou či plnou akomodaci zvýšenou o adici Add (korekce do blízka při pseudoemetropii):

$$a_{RB} = -\frac{1}{Add} \quad a_{PB} = -\frac{1}{Add + A_s}$$

Příklady

Pr. 1 (myop)

$A_S^v = 2D$, požadujeme $h = -0,3 \text{ m}$

$S_D^I = -5D$ (korekce do dálky)

určit Add , S_B^I (korekce do blízka), akomodační intervaly

$$\text{Add} = -\frac{1}{h} - \frac{2}{3} A_S^v = 3,3D - 1,3D = \underline{\underline{+2D}} \Rightarrow S_B^I = S_D^I + \text{Add} = -3D$$

$$z_{RD} \rightarrow \infty \quad z_{PD} = -\frac{1}{A_S^v} = -50 \text{ cm}$$

$$z_{RB} = -\frac{1}{\text{Add}} = -50 \text{ cm} \quad z_{PB} = -\frac{1}{(Add + A_S^v)} = -25 \text{ cm}$$

Pr. 2 (hypermetrop)

$A_S^v = 2D$, $h = -0,3 \text{ m}$

$S_D^I = +4D$